



## بررسی آزمایشگاهی شکل پذیری ستون های فولادی پر شده با بتن (CFST)

طالب مرادی شقاقي<sup>۱</sup>، فريبرز ناطقى الهى<sup>۲</sup>

چكیده

دیوارهای فولادی برشی فولادی به عنوان یک سیستم مقاوم در برابر بارهای جانبی دارای توانایی بالایی در میانه اتریزی زلزله ستون های فولادی پر شده با بتن CFST نوعی از ستون های مرکب می باشند، که به دلیل مزایای فراوانی که نسبت به ستون های بتن آرم و فولادی دارند استفاده از آنها مخصوصاً در ساختمان های بلند در سال های اخیر رواج زیادی پیدا کرده است. از جمله این مزایا میتوان به سادگی نصب و اجرا، مسافت اقتصادی، حذف هزینه های قالب بندی، عملکرد خوب در مقابل نیروهای لرزه ای، مقاومت بیشتر با حجم کمتر و شکل پذیری بالا اشاره نمود. پارامترهای مؤثر در ظرفیت باربری ستون های CFST و همچنین شکل پذیری این ستونها، شامل چسبندگی بین جدار فولادی و هسته بتنی، کمانش موضعی جدار فولادی، نسبت بعد مقطع به ضخامت جدار فولادی (D/t)، نسبت طول به بعد مقطع (L/D) و شکل مقطع عرضی می باشند. در این تحقیق اثر تعدادی از پارامترهای مؤثر در رفتار ستون های CFST به صورت آزمایشگاهی مورد بررسی قرار می گیرند. در بررسی آزمایشگاهی این ستون ها ۱۲ نمونه ستون با مقیاس حدود ۱/۳ ساخته شده و در آزمایشگاه تحت بار محوری فشاری برابر با  $P_u / 2$  توأم با بار جانبی متنابع افزایش یابنده تا انهدام کامل ستون قرار می گیرند و منحنی های رفتاری نمونه ها ترسیم شده و موردن مطالعه و بررسی قرار می گیرند. از لحاظ شکل مقطع عرضی، سه شکل دایره، مربع و هشت ضلعی در نظر گرفته شده است تا شکل بهینه از لحاظ رفتار تحت بارهای متنابع مشخص گردد. در تعدادی از نمونه ها ورق های سخت کننده در داخل ستون تعییه شده است تا اثرات آنها در رفتار این نوع ستون ها بررسی شود.

**كلمات کلیدی:**

ستون های فولادی پر شده با بتن، جدار فولادی، ورق های سخت کننده، ضربی فشردگی مقطع، شکل پذیری

### Experimental Study of Concrete Filled Steel Tube Columns Ductility (CFST) Taleb Moradi Shaghaghi , Fariborz Nateghi – A

#### ABSTRACT

Concrete filled steel tube columns (CFST) are a kind of composite columns according to advantages of CFST relative to reinforced concrete and steel columns. Use of these materials is common in recent years especially in high buildings, unnecessary of moulding, high ductility, proportionate resistance with low volume, economical, low deformation relative to steel columns are among advantages. In these columns, development of full load bearing capacity depends on, bond strength between steel and concrete, local buckling of steel encasing, ratio of side dimension of the column to steel thickness, D/t, length to dimension ratio ,L/D and finally the shape of column.

In this paper, effective parameters on CFST columns behavior are investigated experimentally by testing specimens in laboratory. For this experimentally research, twelve specimens loaded axially with enhancing cyclic lateral load. The results of experimental investigation are compared with regulation relations and proposal analytical relation of some of the researchers.

#### Key words:

Concrete Filled Steel Tube Columns (CFST), Steel Tube, Section Coefficient of Compressibility, Steel Stiffener, Ductility

۱. استادیار گروه عمران دانشگاه آزاد اسلامی واحد تبریز ta.moradi@yahoo.com

۲. استاد پژوهشکده مهندسی سازه، پژوهشگاه بین المللی زلزله شناسی و مهندسی زلزله Nateghi@iiees.ac.ir

## ۱- مقدمه

برای بررسی رفتار ستون‌های CFST، دوازده نمونه ستون با اشل حدود  $1/3$  ساخته شده و در آزمایشگاه سازه پژوهشگاه زلزله شناسی و مهندسی زلزله، تحت نیروی فشاری توان با نیروی جانبی متناوب افزایش یابنده مورد آزمایش قرار گرفتند. هدف از آزمایشات بررسی اثر نسبت بعد مقطع به ضخامت جداره فولادی ( $D/t$ ) و نسبت طول نمونه به بعد مقطع ستون ( $L/D$ ) و شکل مقطع عرضی ستون در رفتار و شکل پذیری ستون‌های فولادی پر شده با بتون (CFST) می‌باشد.

در آزمایش این دوازده نمونه از Actuator با ظرفیت پانصد کیلونیوتن برای اعمال بار محوری و از Actuator دویست و پنجاه کیلو نیوتنی برای وارد کردن بار جانبی در انتهای ستون بصورت اعمال تغییر مکان جانبی استفاده گردید [۱].

## ۲- مدل نمونه‌های تحت آزمایش

مدل نمونه‌های تحت بار محوری توان با بار جانبی بصورت شکل (۱) می‌باشد. این نمونه‌ها به صورت یک سر گیردار مدل شده و در انتهای آزاد تحت بار محوری تا حدود  $0.2 \text{ Pu}$  توان با بار جانبی افزایش یابنده به صورت اعمال تغییر مکان جانبی (Displacement control) و بصورت رفت و برگشتی قرار گرفتند [۲]. تصویر تعدادی از نمونه‌ها در شکل (۲) نشان داده شده است.



شکل (۲) : تصویر تعدادی از نمونه‌های آزمایش

## ۳- مشخصات مصالح نمونه‌ها

## ۱-۳- مشخصات فولاد جداره نمونه‌ها

فولادهای مورد استفاده در ساخت نمونه‌ها در آزمایشگاه تحت کشش مورد آزمایش قرار گرفتند. مشخصات کلی فولاد نمونه‌ها بر اساس آزمایشات در جدول (۱) ارائه شده است [۱۲ و ۱۳].

## ۲-۳- مشخصات بتون مصرفی در نمونه‌ها

با توجه به اینکه نمونه‌های مورد آزمایش کوچکتر از مقادیر واقعی و با مقیاس حدود  $1/3$  می‌باشند. لذا مواد نمونه‌های ستون با مواد ستون‌های واقعی مقداری فرق خواهد داشت. دانه‌بندی مواد دانه‌ای در نمونه‌های با دانه‌بندی مواد دانه‌ای در اشل واقعی ستون‌ها متفاوت خواهد بود.

در نمونه‌های مورد آزمایش با توجه به

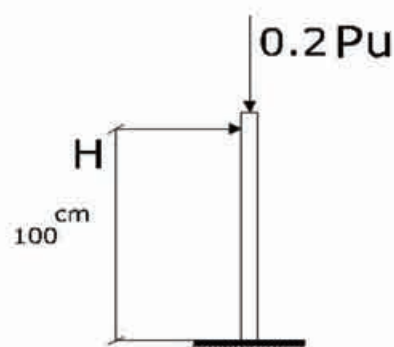
$$f'_c = 25 \text{ MPa} = 3640 \text{ psi}$$

$$\epsilon_{cu} = 0.003$$

$$E_c = 5000\sqrt{25 \text{ MPa}} = 3.64 \times 10^6 \text{ psi}$$

و با استفاده از منحنی‌های موجود در فصل ۴.۸ مرجع [۱۲] نسبت وزنی مواد تشکیل دهنده بتون را بصورت  $1:4:5:0$  می‌توان به دست آورد.

دانه‌ها بایستی از الک نمره ۶ عبور کنند و مقدار عبور از الک نمره ۱۰۰ حداقل ۱۰ درصد باشد. نمونه‌های بتون در قالب‌های استوانه‌ای و مکعبی در حین بتونریزی نمونه‌ها برداشته شده و در روز آزمایش نمونه‌ها، مورد آزمایش قرار



شکل (۱) : مدل نمونه‌های CFST

نمونه های C3S,S2S,O2S,O4S با ورق های سخت کننده در سرتاسر طول ستون و نمونه های C3N,O2SN,O3SN,S3SN ناحیه بحرانی ستون (۳۰ سانتیمتر پائین ستون) می باشند.

**۵- دستگاه آزمایش و نحوه اعمال بارها**  
 در آزمایش نمونه ها، بار محوری توسط Actuator با ظرفیت 500KN و بار جانبی در انتهای نمونه توسط Actuator با ظرفیت 250KN با اعمال تغییر مکان جانبی وارد گردید (Displacement control) شکل (۵) منحنی اعمال تغییر مکان در انتهای ستون را نشان می دهد [۱۱].  
 $\delta_y$  تغییر مکان انتهای نمونه در شروع تسلیم جدار فولادی و  $\delta_x$  تغییر مکان اعمال شده به انتهای ستون می باشد.  
 شکل (۶) دستگاه آزمایش و نحوه اعمال بارهای محوری و جانبی را به صورت شماتیک نشان می دهد. در این شکل محل کرنش سنجها و تغییر مکان سنجها نشان داده شده است.  
 شکل (۷) یکی از نمونه ها را حین آزمایش نشان می دهد.

گرفته اند، که مشخصات آنها به صورت جدول (۲) می باشد. سیمان مورد استفاده در ساختن بتن، سیمان نوع یک کارخانه آبیک و آب مصرفی در ساخت نمونه ها، آب آشامیدنی بوده است.

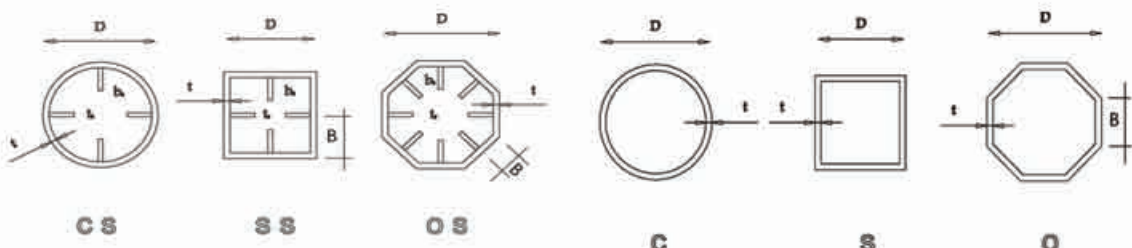
#### ۴- مشخصات نمونه های آزمایشی

نمونه های آزمایشی ستون های CFST شامل ۱۲ نمونه بوده که شکل مقاطع نمونه ها دایره (C)، مربع (S) و هشت ضلعی (O) انتخاب شده اند. تا شکل مقطع بهینه از نتایج آزمایشات استخراج گردد. مشخصات نمونه ها در جدول (۳) آمده است.

شکل (۳)، شکل مقطع عرضی نمونه های بدون ورق های سخت کننده و شکل ۴، شکل مقطع عرضی نمونه های با ورق های سخت کننده را نشان می دهند. در جدول (۳)، ظرفیت فشاری خالص نهایی نمونه ها ( $P_u$ ) از رابطه آیین نامه ACI محاسبه شده است

$$(P_u = A_g F_y + 0.85 A_t f'_c)$$

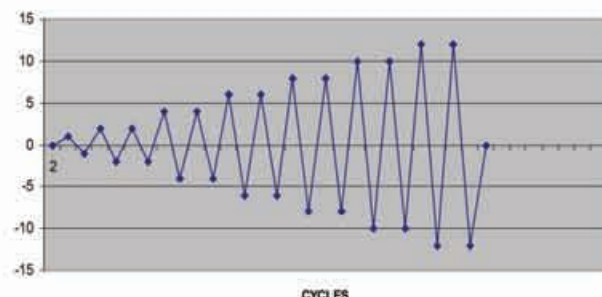
نمونه های C3, S3, O3 بدون ورق های سخت کننده و



شکل (۴) : مقاطع عرضی نمونه های با ورق های

شکل (۳) : مقاطع عرضی نمونه های بدون ورق های سخت کننده

$$\frac{\delta_y}{\delta_{y_0}}$$



شکل (۵) : منحنی اعمال تغییر مکان در انتهای ستون

شکل پذیری انتقالی و drift نسبت حداکثر تغییر مکان جانبی انتهای نمونه در شروع گسیختگی به طول نمونه و  $8\pi$  حداکثر کرنش وارد شده به بتن با فرض تغییرات خطی کرنش در مقطع  $P_y$  ظرفیت فشاری نهائی ستون می‌باشد. در شکل (۸) منحنی‌های چرخه‌ای نمونه‌های بدون ورقهای سخت‌کننده و در شکل (۹) منحنی‌های چرخه‌ای نمونه‌های با ورقهای سخت‌کننده در سرتاسر طول نمونه‌ها و شکل (۱۰) منحنی‌های چرخه‌ای نمونه‌ها با ورقهای سخت‌کننده در ناحیه بحرانی ستون نشان داده شده است.

## ۶- آزمایشات و منحنی‌های چرخه‌ای نمونه‌ها

نمونه‌های ستون CFST تحت نیروی فشار محوری و بار جانبی رفت و برگشتی در انتهای نمونه تا حد گسیختگی مورد آزمایش قرار گرفتند.

در جدول (۴) تغییر مکانهای جانبی نمونه‌ها در آزمایش‌ها و نتایج آنها ارائه شده است، در این جدول  $\delta_{y0}$  تغییر مکان انتهای نمونه در شروع تسلیم و  $\delta_{y_{max}}$  تغییر مکان جانبی انتهای نمونه در شروع افت مقاومت و  $\delta_y$  حداکثر تغییر مکان جانبی انتهای نمونه در شروع گسیختگی و  $\mu$  ضریب

جدول (۱): مشخصات فولاد جداره نمونه‌ها

نمونه‌ها	$F_y$ (MPa)	$F_u$ (MPa)	$\epsilon_y$ (%)	$\epsilon_u$ (%)
فولاد نمونه‌های با مقطع هشت ضلعی (O)	۳۰۷	۴۲۴	۲/۵	۲۴
فولاد نمونه‌های با مقطع دور (C)	۳۳۳	۴۲۸	۴	۲۳
فولاد نمونه‌های با مقطع مربعی (S)	۴۰۱/۶	۴۴۵/۶	۲	۱۰

جدول (۲) : مشخصات بتن نمونه‌ها

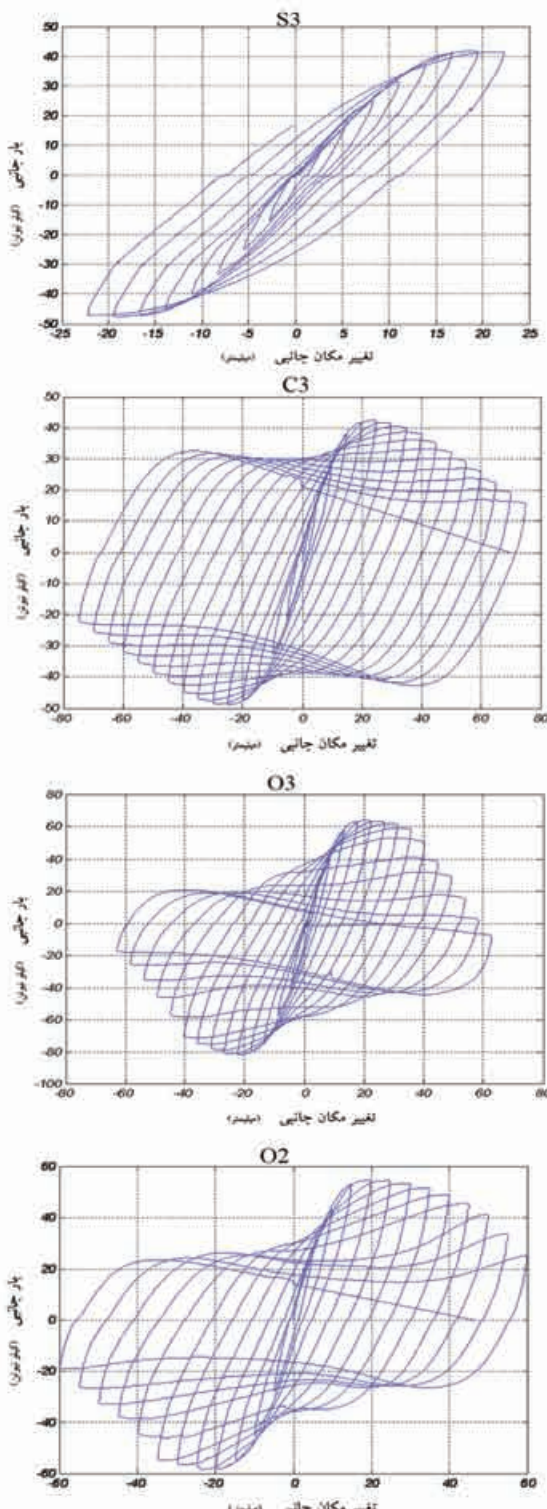
نمونه‌ها	$(KN/m^3) W_c$	$f_c$ (MPa)
مکعبی ۱	۲۲/۵۷	۳۰/۸
مکعبی ۲	۲۲/۷۴	۲۷/۲
استوانه‌ای ۱	۲۲/۴۴	۳۰/۴
استوانه‌ای ۲	۲۱/۸۵	۲۶/۹

جدول (۳) : مشخصات نمونه‌های CFST

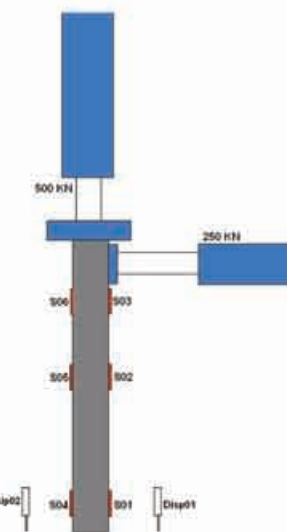
نمونه‌ها	$D-B$ (mm)	$t$ (mm)	$\frac{D}{T}$	$\frac{B}{T}$	$\frac{L}{D}$	$Bs/ts$	As ( $mm^2$ )	Ac ( $mm^2$ )	$F_y$ (MPA)	$f'_c$ (MPA)	$P_u(kn)$	ACI
C3	۱۶۰-۱۶۰	۴	۴۰	-	۶/۷۵	-	۱۹۵۹/۳	۱۸۱۲۶	۳۳۰	۲۸	۸۲۵/۲	
S3	۱۳۸-۱۳۸	۴	۳۶/۵	-	۷/۸۲	-	۲۰۸۰	۱۶۹۰۰	۴۰۰	۲۸	۸۳۵/۶	
O2	۱۴۴-۸۰	۳	۶۶/۳	۲۶/۷	۵/۴۲	-	۱۴۲۰	۳۰۴۰۲	۳۰۰	۲۸	۱۰۴۷/۷	
O3	۲۰۱-۸۰	۴	۵۰/۵	۲۰	۵/۳۲	-	۲۵۶۰	۳۰۴۰۲	۳۰۰	۲۸	۱۲۱۰/۹	
C3S	۱۶۰-۴۹	۴	۴۰	۱۰	۵/۳۷	۴۰/۳	۲۲۳۹/۳	۱۷۶۵۶	۳۳۰	۲۸	۹۴۰/۹۴	
S2S	۱۳۶-۶۸	۳	۴۵/۳	۲۲/۶	۶/۸	۴۰/۳	۲۰۴۰	۱۶۴۲۰	۴۰۰	۲۸	۸۱۶/۸	
O2S	۱۴۴-۸۰	۳	۶۶/۸	۲۶/۶	۷/۹	۴۰/۳	۲۸۸۰	۲۹۹۴۲	۳۰۰	۲۸	۱۲۷۵/۲	
O4S	۱۴۴-۸۰	۳	۶۶/۸	۲۶/۶	۵/۴	۴۰/۳	۲۴۰۰	۳۰۴۲۲	۳۰۰	۲۸	۱۱۶۱/۴	
C3N	۱۶۶-۴۱	۴	۴۱/۵	۱۰/۴	۶/۵	۴۰/۳	۱۴۴۰/۲	۱۹۵۹۶	۳۳۰	۲۵	۸۴۸/۷	
O2SN	۱۹۹-۴۰	۳	۶۴/۴	۱۲/۲۲	۵/۵۴	۴۰/۳	۲۴۰۰	۳۰۴۰۳	۳۰۰	۲۵	۱۱۷۰/۲	
O3SN	۲۱۳-۵۳	۴	۵۳/۲	۱۲/۲۲	۵/۰۷	۴۰/۳	۲۵۶۰	۳۰۴۰۳	۳۰۰	۲۵	۱۲۱۰/۹	
S3SN	۱۳۰-۶۵	۴	۳۲/۵	۱۶/۲۵	۸/۳	۴۰/۳	۲۰۸۰	۱۶۹۰۰	۴۰۰	۲۵	۸۳۵/۶	



۵۰ میلیمتر در انتهای ستون استفاده گردید که توسط پین به  
قائم متصل می گردد [عو۱۲].



شکل (۸) : منحنی های چرخه ای نمونه های بدون ورق های سخت کننده



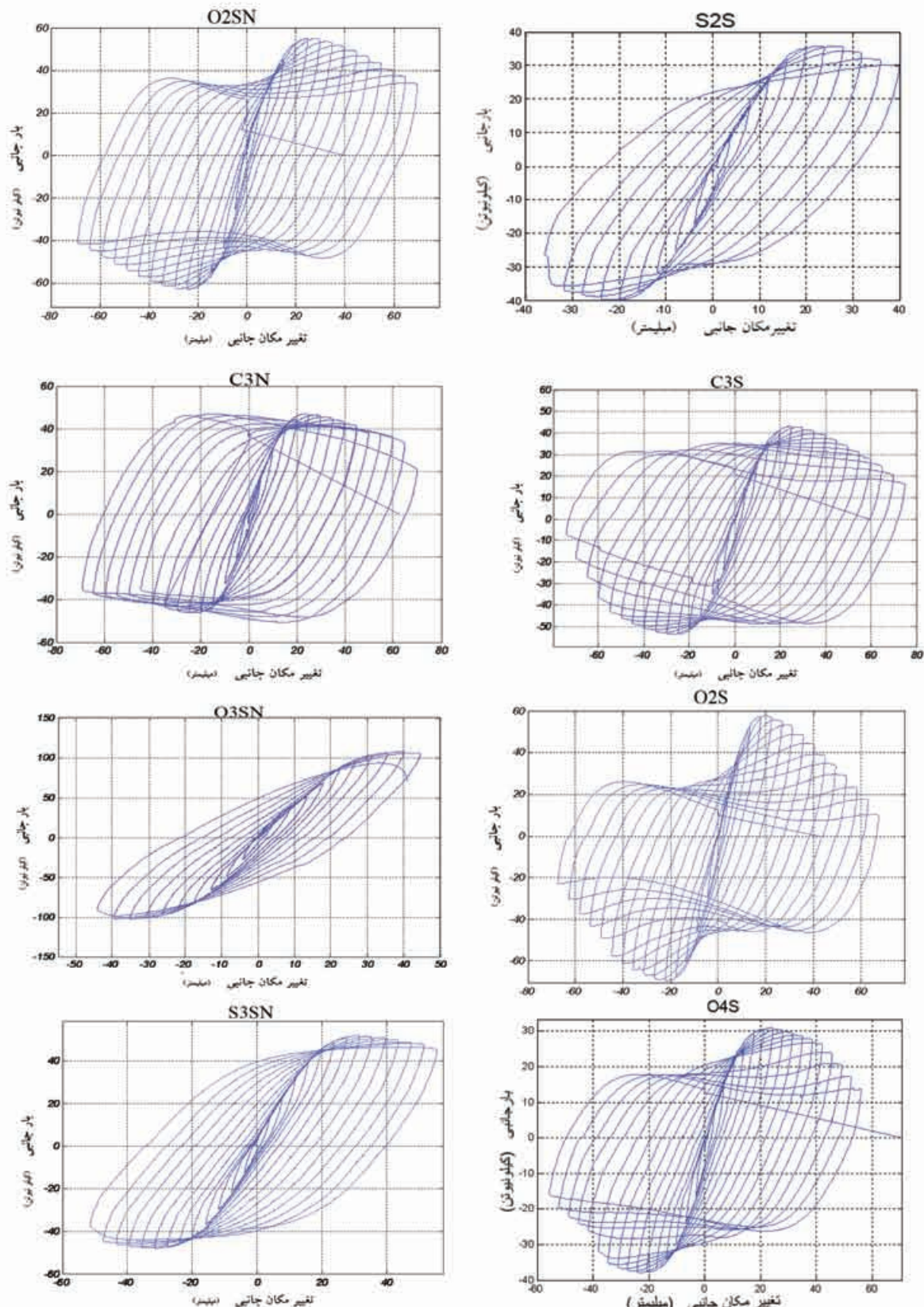
شکل (۶) : دستگاه آزمایش و نحوه اعمال بارها



شکل (۷) : دستگاه آزمایش نمونه های CFST

برای اعمال بار جانبی به انتهای ستون دو ورق فولادی به ضخامت ۳۵ میلیمتر در دو طرف ستون در نظر گرفته شده که توسط چهار میل مهار به همدیگر متصل می شوند. این ورقها توسط پین به افقی متصل شده و با اعمال تغیر مکان افقی بصورت متناوب و افزایش یابنده بار جانبی به انتهای نمونه وارد می شود.

برای اعمال بار محوری از یک صفحه فولادی به ضخامت



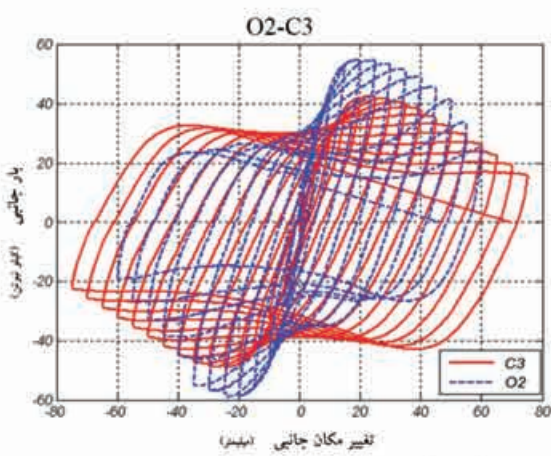
شکل (۱۰) : منحنی های چرخه ای نمونه های با ورق های سخت کننده در ناحیه بحرانی نمونه ها

شکل (۹) : منحنی های چرخه ای نمونه های با ورق های سخت کننده در سرتاسر طول نمونه

جدول (۴) : نتایج آزمایشات نمونه‌های تحت فشار توام با بار جانبی چرخه‌ای

نمونه‌ها	0.2Pu (KN)	$\delta Y_0$ (mm)	$\delta Y_1$ (mm)	$\delta Y_{max}$ (mm)	$\mu(\delta Y_1/\delta Y_0)$	drift	NO. cyclic	εcu
C3	170	5	60	75	12	0/069	15	0/022
S3	160	4	44	64	11	0/059	14	0/021
O2	200	5	50	75	10	0/069	15	0/018
O3	240	4/5	40/5	67/5	9	0/062	15	0/019
C3S	200	5	65	70	13	0/0648	14	0/021
S2S	160	4	40	48	10	0/044	12	0/0215
O2S	240	4/5	54	67/5	12	0/0625	15	0/02
O4S	150	3/5	42	56	12	0/0518	16	0/0205
C3N	200	5	65	75	13	0/0694	15	0/022
O2SN	200	5	55	65	11	0/0602	13	0/019
O3SN	240	4/5	49/5	54	11	0/05	12	0/021
S3SN	160	4	52	60	13	0/0555	15	0/02

جدار فولادی در ستون‌های CFST به طور کامل بتن داخل را دورگیر نموده مقاومت بتن و کرنش نهایی بتن را به مقدار قابل توجهی افزایش می‌دهد [۱۰ و ۹].



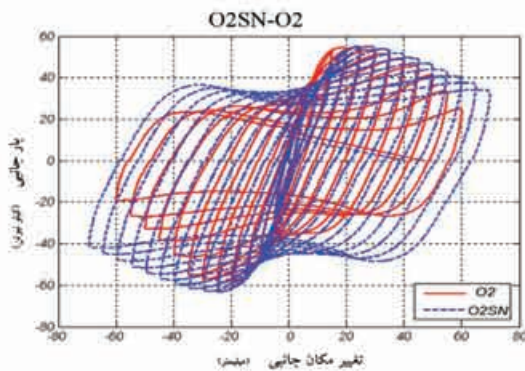
شکل (۱۱) : منحنی‌های چرخه‌ای C3, O2

#### ۷- مقایسه منحنی‌های چرخه‌ای نمونه‌ها

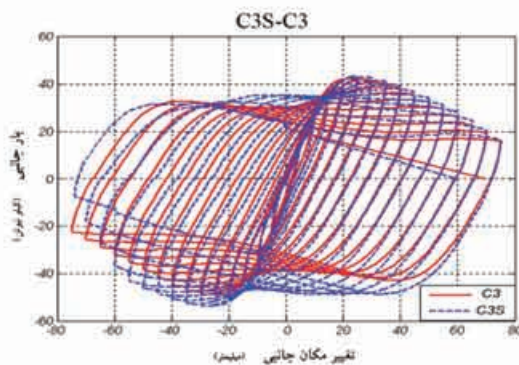
منحنی‌های چرخه‌ای نمونه‌های بدون ورقهای سخت‌کننده و نمونه‌های با ورقهای سخت‌کننده در سرتاسر طول ستون و نمونه‌های با ورقهای سخت‌کننده در ناحیه بحرانی ستون در شکلهای (۱۱) الی (۱۹) با یکدیگر مقایسه شده اند تا اثر ورقهای سخت‌کننده و همچنین اثر شکل مقطع عرضی در رفتار و شکل پذیری ستونهای CFST بررسی گردد.

با مقایسه منحنی‌ها نتیجه می‌شود که شکل پذیری ستونهای با مقطع دایره بیشتر از مقطع هشت ضلعی و ستونهای با مقطع هشت ضلعی شکل پذیرتر از مقاطع مربعی است. وجود ورقهای سخت‌کننده در داخل ستون‌های CFST باعث افزایش شکل پذیری و باعث به تعویق افتادن کمانش موضعی جدار فولادی می‌شود [۸ و ۷].

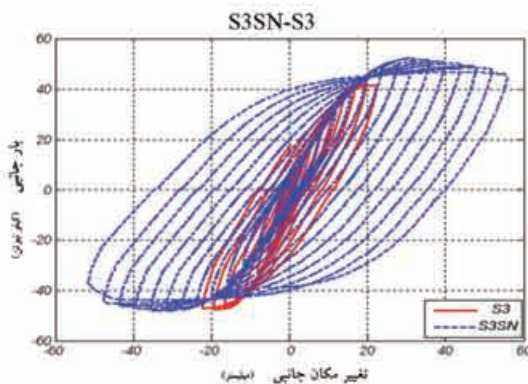
اثر وجود ورقهای سخت‌کننده در نواحی بحرانی ستون (نواحی تحت تنشی‌های حداقل) در افزایش شکل پذیری بیشتر از وجود ورقهای در سرتاسر طول ستون می‌باشد.



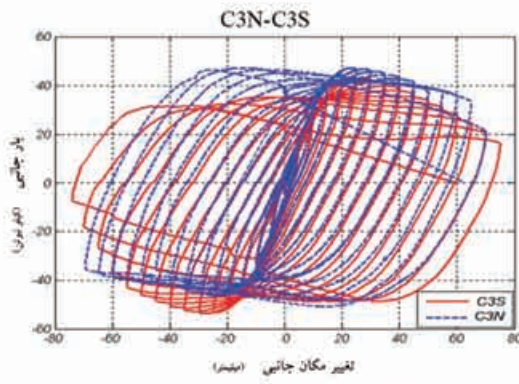
شکل (۱۶) : منحنی های چرخه ای O2,O2SN



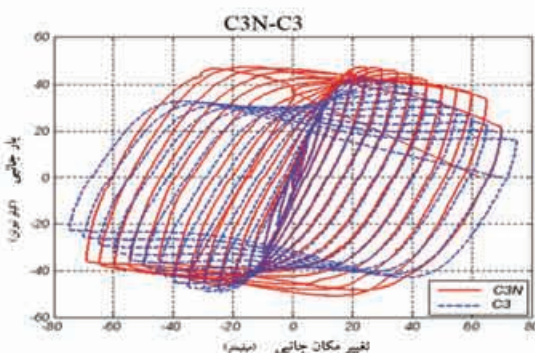
شکل (۱۲) : منحنی های چرخه ای C3,C3S



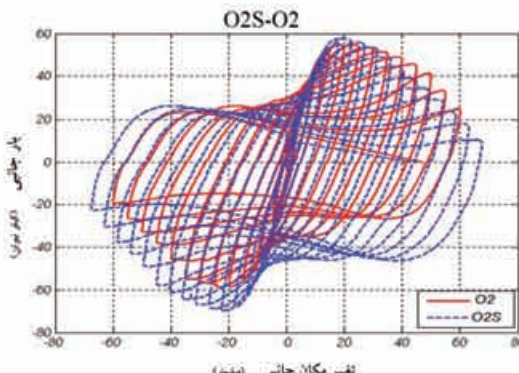
شکل (۱۷) : منحنی های چرخه ای S3,S3SN



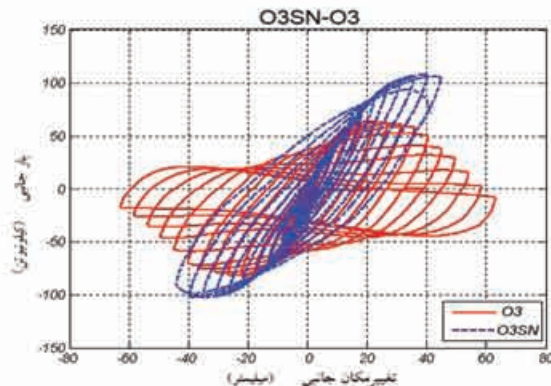
شکل (۱۳) : منحنی های چرخه ای C3S,C3N



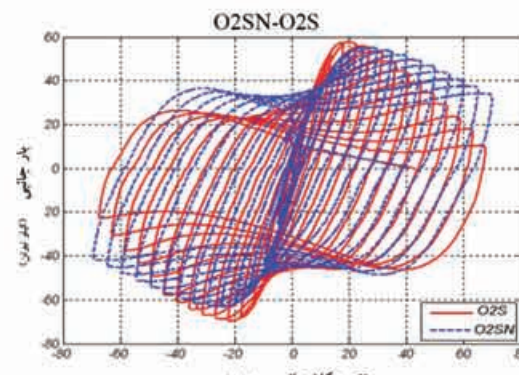
شکل (۱۸) : منحنی های چرخه ای C3,C3N



شکل (۱۴) : منحنی های چرخه ای O2,O2S



شکل (۱۹) : منحنی های چرخه ای O3,O3SN



شکل (۱۵) : منحنی های چرخه ای O2S,O2SN

بتن است و در بارهای نزدیک به بار نهانی نسبت پواسون فولاد کمتر از بتن بوده و فولاد به صورت دورگیر بتن را در برگرفته و موجب افزایش مقاومت فشاری بتن می‌شود. این افزایش مقاومت با افزایش نسبت طول به قطر یا بعد مقطع (L/D) و نیز افزایش ضریب فشردگی مقطع (B/t, D/t) کاهش می‌یابد.

۶- پرکردن مقاطع قوطی و توانالی با بتن از کمانش موضعی به طرف داخل جداره فولادی جلوگیری نموده و در نتیجه کمانش موضعی جداره فولادی را به تعویق می‌اندازد [۱۴].

۷- با توجه به نتایج نمونه‌ها در آزمایش، پیشنهاد می‌گردد در نواحی بحرانی ستون در حوالی اتصالات تیر-ستون و اتصال ستون به فونداسیون در طول  $L_0$  از ورق‌های سخت‌کننده در داخل نمونه با جوش سرتاسری استفاده شود. طول  $L_0$  با روابط زیر محاسبه می‌گردد.

$$L_0 = \text{Max} (L_0/6, D, 450 \text{ mm})$$

$L_0$ =ارتفاع خالص ستون می‌باشد.

۸- حداکثر کرنش وارد شده به بتن در شروع شکست حدود  $0.027$  و حداکثر کرنش بتن در شروع کمانش موضعی جدار فولادی  $0.092$  می‌باشد (متوسط نمونه‌ها).

۹- در اثر اندرکنش بین بتن و جدار فولادی مقاومت بتن برای مقاطع دایره‌ای حدود  $25$  درصد و برای مقاطع هشت ضلعی حدود  $22$  درصد و برای مقاطع مربعی حدود  $16$  درصد (متوسط نمونه‌ها) افزایش می‌یابد.

۱۰- در اثر اندرکنش بین بتن و جدار فولادی و در اثر تنش‌های حلقوی وارد شده به فولاد، مقاومت تسلیم فولاد حدود  $8$  درصد کاهش می‌یابد.

۱۱- در ستون‌های CFST پدیده pinching در منحنی‌های چرخه‌ای در مقایسه با ستون‌های بتن مسلح بسیار کمتر است، در تعدادی از نمونه‌ها با ورق‌های سخت‌کننده در نواحی بحرانی پدیده pinching مشاهده نمی‌شود.

۱۲- با کاهش مقدار  $t/D$  در نمونه‌ها مشاهده می‌شود پدیده pinching در منحنی‌های چرخه‌ای به مقدار قابل توجهی کاهش می‌یابد.

## ۹- نتیجه‌گیری

۱- تعداد چرخه‌های بارگذاری جانبی متحمل شده توسط نمونه‌ها به مراتب بیشتر از ستون‌های بتنی معمولی است. این مورد در اثر محصوریت هسته بتن توسط جدار فولادی است و باعث افزایش قابل توجه در شکل‌پذیری و جذب انرژی می‌گردد، که در سازه‌های مقاوم در برابر زلزله دارای اهمیت فراوانی است.

۲- در نمونه‌های با ورق‌های سخت‌کننده به طول  $30$  سانتی متر پائین ستون (جانبی که مصالح ستون تحت تنش‌های ناشی از فشار و خمیش حداکثر قرار دارد)، ورق‌های سخت‌کننده نقش مهم و قابل توجهی در افزایش چرخه‌های بارگذاری قابل تحمل توسط ستون و افزایش شکل‌پذیری ستون و افزایش جذب انرژی دارند.

۳- تمام نمونه‌های تحت فشار توم با بار جانبی چرخه‌ای در اثر کمانش موضعی جدار فولادی و پودر شدن بتن در محل سخت‌کننده در نواحی بحرانی ستون مقدار  $B/t$  یا  $D/t$  (نسبت عرض به ضخامت جدار فولادی یا ضریب فشردگی مقطع) را کاهش داده و کمانش موضعی را به تعویق می‌اندازد، با توجه به  $t/D$  و  $B/t$  نمونه‌های مختلف و تعداد چرخه‌های قابل تحمل توسط نمونه‌ها در شروع کمانش موضعی پیشنهاد می‌گردد،  $D/t$  برای مقاطع دایره‌ای بدون ورق‌های سخت‌کننده حداکثر به  $32$  و مقدار  $t/B$  برای مقاطع هشت ضلعی و مربعی حداکثر به  $25$  محدود گردد.

۴- در آزمایش‌ها از سه نوع مقطع عرضی دایره، هشت ضلعی، و مربع استفاده شده است، مقایسه نتایج این سه نوع مقطع نشان می‌دهد، رفتار مقطع دایره از لحاظ شکل‌پذیری و ظرفیت جذب انرژی و تعداد سیکل‌های قابل تحمل تا افت قابل توجه مقاومت بهتر از رفتار مقطع هشت ضلعی و رفتار مقطع هشت ضلعی بهتر از رفتار مقطع مربعی است.

در استفاده از مقاطع هشت ضلعی، برای کاهش  $B/t$  در محل اتصالات و نواحی بحرانی توصیه می‌گردد از ورقهای سخت‌کننده استفاده شود.

۵- در مراحل اول بارگذاری نسبت پواسون فولاد بیشتر از

1. Johansson, M.and Gylltoft, k. (2001), "structural behavior of slender circular steel – concrete composite columns under various means of load application "
2. Chao , M. and Zhang , J.Q. (1999), " Accuracy of Numerical Expressions for the Section Analysis of CFST Beam – columns " proceeding of EASEC – 7 , August , Japan , PP967– 972
3. M.Shams, M.A. Saadegh vaziri." State of the Art concrete Filled steel Tubular columns. "ACI Struct. Journal / sept – oct. 1997.
4. K.A.S. Susantha, Hanbin Ge , Tsutomu Usami , (2001), "Uniaxial stress – strain relationship of concrete confined by various shaped steel Tube " , Engineering Structures Journal
5. G. Compione, N. Scibilia, G. Zingone. "Strength and Ductility of Hollow circular steel columns filled With Fiber Reinforced concrete" Dipartimento di Ing. struct. Universita di palermo, I – 90128, ITALY.
6. B. Uy. "Strength of concrete Fillad steel Box Columns Incorporating Local Buckling. "J. Struct. Engineering. ASCE / March 2000
7. Y.C. Wang. "Tests on slender composite columns "J. Constr. Steel Res. 49 (1999) 25-41
8. Martin D. O'Shea, Russel Q. Bridge. "Design of Circular thin – walled Concrete Filled Steel Tube Columns. "J. Struct. Engineering. ASCE / November 2000
9. Popovics S. "A Numerical Approach To The Complete Stress – strain Curves For Concrete." Cement Concrete Res 1973, 3(s): 583 – 99.
10. Mander JB. , priestly JN. , park R. "Theoretical Stress – Strain Model For Confined Concrete." J. Struct. Eng. ASCE 1988, 114 (8): 1804 - 26
11. Ahmad, S. H. and Shah, s.p. (1987)," Structural Properties of High Strength Concrete And Its Implications For Precast Concrete", PCI J.,
12. K.A.S. Susantha, Hanbin Ge, Tsutomu Usami "Uniaxial Stress – Strain relationship of concrete confined by various shaped steel tubes". Engineer struct 23(2001) 1331-1347.
13. Harry G.Harris Gajanan M.Sabnis. "Structural Modeling and Experimental Techniques".

۱۴- صادق رضا فخری ، بررسی تحلیلی و تجربی رفتار سطون‌های فلزی پر شده با بتن و اتصالات مربوطه

دانشکده فنی دانشگاه تهران، ۱۳۷۵

